

ISTITUTO NAZIONALE DI FISICA NUCLEARE

Sezione di Catania

INFN/BE-75/1
4 Agosto 1975

A. Strazzeri: UNA NOTA SULLE CORRELAZIONI ANGOLARI
IN REAZIONI A TRE CORPI FINALI. -

INFN/BE-75/1
4 Agosto 1975

A. Strazzeri: UNA NOTA SULLE CORRELAZIONI ANGOLARI IN REAZIONI A TRE CORPI FINALI. -

I -

Consideriamo la reazione a tre particelle finali nell'ipotesi di decadimento sequenziale:



Tale processo è rappresentato schematicamente in Fig. 1

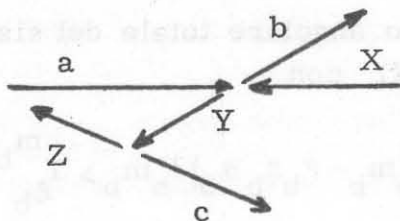


FIG. 1

Si assumono le seguenti ipotesi:

- 1) I nuclei b e Y si trovano in stati con definiti momento angolare totale e parità $\vec{J}_b \pi_b$ e $\vec{I}_Y \pi_Y$ rispettivamente.
- 2) Il nucleo Y si disintegra nei nuclei c e Z con definiti momento angolare totale e parità $\vec{J}_c \pi_c$ e $\vec{I}_Z \pi_Z$ rispettivamente.
- 3) Nel decadimento $Y^{\#} \rightarrow c + Z$ le interazioni tra Y e b sono trascurabili.

Se si indica con $\vec{\ell}$ il momento angolare orbitale e con \vec{s} lo spin, si ha:

$$\vec{J}_b = \vec{\ell}_b + \vec{s}_b$$

$$\vec{J}_c = \vec{\ell}_c + \vec{s}_c$$

$$\pi_Y = \pi_Z (-)^{J_c}$$

2.

Le ipotesi 1) e 3) permettono di trattare la prima parte del processo (I) come una reazione a due particelle finali. Rappresentiamo lo stato iniziale tramite la funzione d'onda^(1, 2):

$$(1) \quad \phi_{a, X} = \psi_X \psi_a \exp \left[i(\vec{k}_{aX} \vec{r}_{aX} - \eta_{aX} \ln 2(\vec{k}_{aX} \vec{r}_{aX})) \right]$$

dove $\eta_{aX} = (Z_a Z_X e^2) / (\hbar v_{aX})$; v e k sono rispettivamente le velocità e il numero d'onda del moto relativo e le ψ caratterizzano lo stato interno di a e X .

La funzione (1) corrisponde a un flusso uguale alla velocità relativa v_{aX} ; infatti⁽¹⁾ trascurando le correzioni di ordine $1/r$

$$(2) \quad j_{aX} = \frac{\hbar}{2im_{aX}} \left[\phi_{aX}^* (\nabla_{aX} \phi_{aX}) - \phi_{aX} (\nabla_{aX} \phi_{aX})^* \right] = v_{aX}$$

(m_{aX} è la massa ridotta nel canale (a, X))

Il sistema $(b + Y)$ può essere descritto da ^(3, 4)

$$(3) \quad \phi_{b, Y} = r_{bY}^{-1} \sum_{J_b \ell_b} \phi_{\ell_b}^{J_b} (r_{bY}) \sum_{m_Y} \langle I_{m_Y} | I_{Y m_Y} J_b m_Y \rangle \psi_b \psi_Y$$

($\vec{I} = \vec{J}_a + \vec{I}_X$ è il momento angolare totale del sistema $(a+X)$ che si conserva nella reazione $X(a, b) Y$), con

$$(4) \quad \psi_b = \sum_{\sigma_b} \langle \ell_b m_b - \sigma_b s_b \sigma_b | J_b m_b \rangle Y_{\ell_b}^{m_b - \sigma_b} (\theta_b, \phi_b) \chi_{s_b}^{\sigma_b}$$

dove le Y_{ℓ}^m sono le armoniche sferiche e $\chi_{s_b}^{\sigma_b}$ la funzione di spin;

(θ_b, ϕ_b) sono gli angoli polari nel sistema del centro di massa dei nuclei b e Y .

Per la funzione radiale $\phi_{J_b \ell_b}$, che descrive il moto relativo dei prodotti della reazione $X(a, b) Y$, si ha^(2, 3)

$$\phi_{J_b \ell_b} = -S_{J_b \ell_b}^{(ba)} e^{-i\sigma \ell_b} (G_{\ell_b} + iF_{\ell_b})$$

dove le funzioni F_{ℓ} e G_{ℓ} sono rispettivamente le soluzioni regolare e

irregolare nell'origine dell'equazione⁽¹⁾:

$$\left[\frac{d^2}{dr^2} + k^2 - \frac{2m}{\hbar^2} \left(\frac{\ell(\ell+1)}{r^2} + \frac{ZZ'e^2}{r} \right) \right] f_\ell = 0$$

$\sigma_\ell = \arg \Gamma(1+\ell+i\eta)$ è lo sfasamento coulombiano e $S_{J\ell}$ è l'elemento della matrice di diffusione.

Il valore asintotico di $\phi_{J_b \ell_b}$ è⁽¹⁾:

$$(5) \quad \phi_{J_b \ell_b} = -e^{i\ell_b \frac{\pi}{2}} S_{J_b \ell_b}^{(ba)} \exp \left[i(k_{bY} r_{bY} - \eta_{bY} \ell_{bY} n 2k_{bY} r_{bY}) \right]$$

Per la funzione ψ_Y che descrive il processo di decadimento $Y \rightarrow c+Z$ si ha⁽³⁾:

$$(6) \quad \psi_Y = r_{cZ}^{-1} \sum_{J_c \ell_c} \phi_{J_c \ell_c}(r_{cZ}) \sum_{m_Z} \langle I_Y m_Y | I_Z m_Z J_c m_Y - m_Z \rangle \psi_c \psi_Z$$

con

$$(7) \quad \psi_c = \sum_{\sigma_c} \langle \ell_c m_c - \sigma_c \sigma_c | J_c m_c \rangle Y_{\ell_c}^{m_c \sigma_c}(\theta_c, \phi_c) \chi_{\sigma_c}^{\sigma_c}$$

(θ_c, ϕ_c) sono gli angoli polari nel sistema del centro di massa dei nuclei c e Z - sistema del nucleo di rinculo⁽⁵⁾.

Per la funzione radiale $\phi_{J_c \ell_c}$ si può scrivere⁽²⁾:

$$\phi_{J_c \ell_c} = (T_{J_c \ell_c})^{1/2} e^{-i\sigma_{\ell_c}} (G_{\ell_c} + iF_{\ell_c})$$

dove

$$T_{J_c \ell_c} \equiv 1 - |S_{J_c \ell_c}|^2 = 1 - e^{-4\text{Im} \delta_{\ell_c}^{J_c}}$$

$T_{J\ell}$ è il coefficiente di trasmissione che descrive la sezione d'urto di reazione nel processo $c+Z \rightarrow Y$

$$\left(\sigma_r = \frac{\pi}{k_{cZ}^2} \sum_{J_c \ell_c} \frac{1}{g_{J_c}} T_{J_c \ell_c} ; \quad \frac{1}{g_{J_c}} \equiv \frac{2I_Y + 1}{(2I_Z + 1)(2J_c + 1)} \right)$$

4.

Il coefficiente di trasmissione è legato alla penetrabilità $P_{J_c l_c}$ e alla funzione di forza C_{Y_c} dalla relazione^(2, 3)

$$(8) \quad T_{J_c l_c} = 4\pi P_{J_c l_c} C_{Y_c}$$

La funzione di forza è definita da^(2, 3)

$$C_{Y_c} = \frac{\langle \gamma_{Y_c}^2 \rangle}{\langle D_Y \rangle}$$

dove $\gamma_{Y_c}^2$ è la cosiddetta larghezza ridotta e D_Y è la distanza media tra livelli adiacenti.

Asintoticamente si ha:

$$(9) \quad \phi_{J_c l_c} = e^{i l_c \pi / 2} (T_{J_c l_c})^{1/2} \exp [i(k_{cZ} r_{cZ} - \eta_{cZ} \ln 2k_{cZ} r_{cZ})]$$

Posto

$$(10a) \quad f_{s_b m_b}^{m_Y}(\omega_b) \equiv - \sum_{J_b l_b} e^{i l_b \pi / 2} S_{J_b l_b}^{(ba)} \langle \text{Im}_I | I_{Y m_Y} J_b m_b \rangle$$

$$\langle l_b m_b - \sigma_b s_b \sigma_b | J_b m_b \rangle Y_{l_b}^{m_b - \sigma_b}(\omega_b)$$

$$(10b) \quad f_{s_c m_c}^{m_Z}(\omega_c) = \sum_{J_c l_c} e^{i l_c \pi / 2} (T_{J_c l_c})^{1/2} \langle I_{Y m_Y} | I_{Z m_Z} J_c m_c \rangle$$

$$\langle l_c m_c - \sigma_c s_c \sigma_c | J_c m_c \rangle Y_{l_c}^{m_c - \sigma_c}(\omega_c)$$

la funzione (3) si può riscrivere (v. le (4)(5)(6)(7)(9))

$$(11) \quad \phi_{bcZ} = \left\{ \sum_{\substack{m_Y m_Z \\ m_b m_c \\ \sigma_b \sigma_c}} f_{s_b m_b}^{m_Y}(\omega_b) f_{s_c m_c}^{m_Z}(\omega_c) \right\} \chi_{s_b}^{\sigma_b} \chi_{s_c}^{\sigma_c} \psi_Z$$

$$\frac{\exp [i(k_{bY} r_{bY} - \eta_{bY} \ln 2k_{bY} r_{bY})]}{r_{bY}} \quad \frac{\exp [i(k_{cZ} r_{cZ} - \eta_{cZ} \ln 2k_{cZ} r_{cZ})]}{r_{cZ}}$$

Per calcolare la sezione d'urto differenziale della reazione considerata $X(a, bc)Z^{(2)}$ occorre determinare il flusso di particelle c attraverso lo elemento di superficie $r_{cZ}^2 d\omega_c$ per ogni particella b che attraversa l'elemento di superficie $r_{bY}^2 d\omega_b$ e dividere il risultato ottenuto per il flusso di particelle incidenti a .

Se si indica con j la densità di corrente e con ξ il flusso attraverso la superficie $r^2 d\omega$, si ha:

$$(12) \quad d^2\sigma(\omega_b, \omega_c) = \frac{\xi_{cZ}}{j_{aX}} r_{bY}^2 d\omega_b = \frac{j_{cZ}}{j_{aX}} r_{bY}^2 d\omega_b r_{cZ}^2 d\omega_c$$

Essendo

$$(13a) \quad j_{cZ} = \frac{\hbar}{2im_{cZ}} \left[\phi_{bcZ}^* (\nabla_{cZ} \phi_{bcZ}) - \phi_{bcZ} (\nabla_{cZ} \phi_{bcZ}^*) \right] = r_{bY}^{-2} r_{cZ}^{-2} v_{cZ} W(\omega_b, \omega_c)$$

con

$$(13b) \quad W(\omega_b, \omega_c) \equiv \left| \begin{array}{c} \sum_{m_Y m_Z} f_{s_b \sigma_b}^{m_Y m_Z}(\omega_b) f_{s_c \sigma_c}^{m_Y m_Z}(\omega_c) \\ m_Y m_Z \\ m_b m_c \\ \sigma_b \sigma_c \end{array} \right|^2$$

la (12) si scrive: (v. la (2)).

$$(14a) \quad \frac{d^2\sigma}{d\omega_b d\omega_c} = \frac{v_{cZ}}{v_{aX}} W(\omega_b, \omega_c)$$

Se i nuclei a e X sono non polarizzati si deve mediare su m_I (v. la (3)) la (14a) per cui

$$(14b) \quad \frac{d^2\sigma}{d\omega_b d\omega_c} = \frac{v_{cZ}}{v_{aX}} (2I+1)^{-1} \sum_{m_I} W(\omega_b, \omega_c)$$

Se la particella b viene rivelata a 0° rispetto al fascio incidente^(4,6), allora essendo

$$Y_{\ell_b}^{m_b - \sigma} b(0) = 0 \quad \text{se} \quad m_b \neq \sigma_b$$

6.

la (13ab) diventa:

$$(15a) \quad W(0, \omega_c) = \sum_{m_Y m_Z} \left[\sum_{\sigma_b} \left| f_{s_b \sigma_b}^{m_Y m_Z} Y(0) \right|^2 \sum_{\sigma_c} \left| f_{s_c \sigma_c}^{m_Y m_Z} Z(\omega_c) \right|^2 \right]$$

In definitiva, posto (v. la (10a))

$$(16) \quad A(m_Y) = v_{aX}^{-1} (2I+1)^{-1} \sum_{\sigma_b} \left| \sum_{J_b} \langle I m_Y + \sigma_b | I_Y m_Y J_b \sigma_b \rangle \sum_{\ell_b} B_{J_b \ell_b} \right|^2$$

con

$$B_{J_b \ell_b} \equiv (-)^{\ell_b} e^{i \ell_b \pi/2} \langle \ell_b 0 s_b \sigma_b | J_b \sigma_b \rangle S_{\ell_b J_b}^{(ba)}$$

si ha:

$$(15b) \quad \frac{d^2 \sigma}{d \omega_b d \omega_c} = v_{cZ} \sum_{m_Y} A(m_Y) \sum_{m_Z \sigma_c} \left| \sum_{J_c \ell_c} e^{i \ell_c \pi/2} (T_{\ell_c J_c})^{1/2} \times \right.$$

$$\left. \times \langle I_Y m_Y | I_Z m_Z J_c m_c \rangle \langle \ell_c m_c - \sigma_c s_c \sigma_c | J_c m_c \rangle Y_{\ell_c}^{m_c - \sigma_c}(\theta_c, \phi_c) \right|^2$$

Nelle (15) e (16) il massimo valore che può assumere m_Y è dato dalla somma degli spin dei nuclei a, X e b(6); ossia:

$$(m_Y)_{\max} = s_X + s_a + s_b$$

II -

Consideriamo alcune applicazioni della (15b)

a) Se $s_c = 0$ $I_Z = 0$

la (15b) diventa ($\vec{J}_c = \vec{\ell}_c = \vec{I}_Y$):

(si porrà $I_Y \equiv I$ $m_Y \equiv m$)

$$(17) \quad \frac{d^2 \sigma}{d\omega_b d\omega_c} = T_I \sum_m A(m) \left| Y_I^m(\theta_c, \varphi_c) \right|^2$$

Per $\varphi_c = 0$, tenendo conto delle proprietà delle armoniche sferiche⁽¹⁾, si ha:

$$(18a) \quad \frac{d^2 \sigma}{d\omega_b d\omega_c} = N_{cY} \sigma(\theta_c)$$

con (v. la (8))

$$(18b) \quad N_{cY} \equiv (2I+1) P_{IcZ}^v C_{Yc} A(0)$$

$$(18c) \quad \sigma(\theta_c) \equiv (P_I(\cos\theta_c))^2 + \sum_{1 \bar{m}}^{\bar{m}} a_{\bar{m}} (P_I^{\bar{m}}(\cos\theta_c))^2$$

(si è posto $\bar{m} \equiv (m)\max$)

dove i $P_I^m(\cos\theta_c)$ sono le funzioni di Legendre e i coefficienti a_m sono dati da:

$$(18d) \quad a_m \equiv \frac{A(-m)+A(m)}{(A(0))} \frac{(I-m)!}{(I+m)!}$$

Ora, poichè⁽¹⁾

$$P_I^m(+1) = 0 \quad \text{per } m \neq 0; \quad (P_I^0(+1))^2 = 1$$

risulta:

$$(19) \quad \sigma(0) = \sigma(\pi) = 1$$

Inoltre, essendo⁽¹⁾:

$$P_I^m(0) = 0 \quad \text{se } (I-m): \text{ dispari}$$

$$P_I^m(0) = (-1)^{\frac{I-m}{2}} 2^{-I} (I+m)! \left[\frac{(I-m)!}{2} \frac{(I+m)!}{2} \right]^{-1} \quad \text{se } (I-m): \text{ pari}$$

posto:

$$Q(I) \equiv \left\{ \sum_{1 \bar{m}}^{\bar{m}} a_{\bar{m}} 2^{-2I} [(I+m)!]^2 \left[\frac{(I-m)!}{2} \frac{(I+m)!}{2} \right]^{-2} \right\}_{(I-m): \text{ pari}}$$

si ha:

8.

$$(20) \quad \sigma\left(\frac{\pi}{2}\right) = \left\{ 2^{-2I} (I!)^2 \left[\left(\frac{I}{2}\right)! \right]^{-4} \right\}_{I: \text{pari}} + Q(I)$$

Le (19) e (20) vengono utilizzate in quei casi in cui lo spin I_Y si determina tramite il rapporto $\sigma(\pi)/\sigma(\pi/2)$ (v. per es. 8)).

Prendendo come esempio le reazioni $X(^6\text{Li}, d)Y(\alpha)X$ e $X(^7\text{Li}, t)Y(\alpha)X$ con $I_X = 0$ (v. per es. 9)) si ha $\bar{m} = 2$ e la (18c) si scrive:

$$\sigma(\theta_\alpha) = (P_I(\cos\theta_\alpha))^2 + \frac{b_1}{I^2+I} (P_I^1(\cos\theta_\alpha))^2 + \frac{b_2}{I^4+2I^3-I^2-2I} (P_I^2(\cos\theta_\alpha))^2$$

con

$$b_i \equiv [A(-i) + A(i)] (A(0))^{-1}.$$

b) Se è soltanto $s_c = 0$ allora la (15b) diventa:

(si porrà: $I_Y \equiv I$, $I_Z \equiv I'$, $m_Y \equiv m$, $m_Z \equiv m'$)

$$\frac{d^2\sigma}{d\omega_b d\omega_c} = v_{cZ} \sum_m A(m) \sum_{m'} \left| \sum_{J_c} F_{J_c}^{mm'} Y_{J_c}^{m-m'}(\theta_c, \phi_c) \right|^2$$

con

$$F_{J_c}^{mm'} \exp(iJ_c \pi/2) (T_{J_c})^{\frac{1}{2}} \langle \text{Im} | I' m' J_c m-m' \rangle$$

Se per I intero si considera solo il termine con $m=0$ ⁽⁹⁾ e inoltre si fa l'ipotesi che il decadimento $Y \rightarrow c+Z$ proceda essenzialmente con il minimo valore di J_c ⁽⁸⁾, allora, per $\phi_c = 0$, si scrive l'espressione approssimata ($J \equiv (J_c)_{\min}$):

$$(22a) \quad \frac{d^2\sigma}{d\omega_b d\omega_c} = N'_{cY} \sigma(\theta_c)$$

con (v. la (8))

$$(22b) \quad N'_{cY} \equiv (2J+1) P_J v_{cZ} C_{Yc} A(0) (\langle I0 | I'0J0 \rangle)^2$$

e $(\bar{m}' \equiv (m')_{\max})$

$$(22c) \quad \sigma(\theta_c) \equiv (P_J(\cos\theta_c))^2 + \sum_{m'}^{\bar{m}'} d_{m'} (P_J^{m'}(\cos\theta_c))^2$$

dove

$$(22d) \quad d_{m'} \equiv 2 \left[\frac{\langle J0 | I' m' J - m' \rangle}{\langle I0 | I' 0 J0 \rangle} \right]^2 \frac{(J - m')!}{(J + m')!}$$

Nella deduzione delle (22) si è tenuto conto delle seguenti proprietà⁽¹⁾:

$$Y_J^{-m}(\theta_c, 0) = (-)^m Y_J^m(\theta_c, 0)$$

$$\langle I0 | I' m' J - m' \rangle = (-)^{I'+J-I} \langle I0 | I' -m' J m \rangle$$

La (22a) è formalmente simile alla (18a) e può essere applicata con buona approssimazione in un esame semplice di reazioni del tipo $X(^6\text{Li}, d) Y(\alpha) X^X$ e $X(^7\text{Li}, t) Y(\alpha) X^X$ con I_{X^X} intero.

III -

Come tipico esempio daremo qui di seguito le $d^2\sigma/d\omega_d d\omega_\alpha$ per le reazioni $^{12}\text{C}(^6\text{Li}, d)^{16}\text{O}_I(\alpha)^{12}\text{C}_{0+}$ e $^{12}\text{C}(^6\text{Li}, d)^{16}\text{O}_I(\alpha)^{12}\text{C}_{2+}$ rispettivamente (v. le (15b) e (18c)):

$$(23) \quad \left(\frac{d^2\sigma}{d\omega_d d\omega_\alpha} \right)_{0+} = \sum_0^2 a_m a_m \frac{(I-m)!}{(I+m)!} (P_I^m(\cos\theta_\alpha))^2$$

con

$$a_0 \equiv (2I+1) P_I v_\alpha \left(\frac{\langle \gamma^2 \rangle}{\langle D \rangle} \right)_{0+} A(0)$$

$$a_i \equiv a_0 \frac{A(-i) + A(i)}{A(0)} \quad i = 1, 2$$

$$(24) \quad \left(\frac{d^2\sigma}{d\omega_d d\omega_\alpha} \right)_{2+} = \bar{a}_0 \sum_0^4 b_m b_m \frac{(J-m)!}{(J+m)!} (P_J^m(\cos\theta_\alpha))^2$$

con

$$\bar{a}_0 \equiv (2J+1) P_J \bar{v}_\alpha \left(\frac{\langle \gamma^2 \rangle}{\langle D \rangle} \right)_{2+} A(0)$$

10.

$$b_0 \equiv \langle I0|20J0 \rangle^2 + \langle I1|21J0 \rangle^2 \frac{a_1}{a_0} + \langle I2|22J0 \rangle^2 \frac{a_2}{a_0}$$

$$b_1 \equiv 2 \langle I0|2-1J1 \rangle^2 + (\langle I-1|2-2J1 \rangle^2 + \langle I1|20J1 \rangle^2) \frac{a_1}{a_0} + \langle I2|21J1 \rangle^2 \frac{a_2}{a_0}$$

$$b_2 \equiv 2 \langle I0|2-2J2 \rangle^2 + \langle I1|2-1J2 \rangle^2 \frac{a_1}{a_0} + \langle I2|20J2 \rangle^2 \frac{a_2}{a_0}$$

$$b_3 \equiv \langle I1|2-2J3 \rangle^2 \frac{a_1}{a_0} + \langle I2|2-1J3 \rangle^2 \frac{a_2}{a_0}$$

$$b_4 \equiv \langle I2|2-2J4 \rangle^2 \frac{a_2}{a_0}$$

La (24) è stata dedotta nell'ipotesi che il decadimento $^{16}O \rightarrow \alpha + ^{12}C_{2+}$ proceda con un solo valore di J_α (per es. il minimo $J=I-2$). Il confronto fra la correlazione angolare sperimentale e la (23) permette la determinazione dello spin del livello dell' ^{16}O in esame e i parametri a_i che compaiono pure nella (24); cosicchè l'unico parametro che può essere determinato dal confronto fra la (24) e la correlazione angolare sperimentale per il decadimento $^{16}O \rightarrow \alpha + ^{12}C_{2+}$ è \bar{a}_0 . Noti a_0 e \bar{a}_0 si può determinare il rapporto fra le larghezze ridotte per i due decadimenti considerati

$$(25) \quad \frac{\langle \gamma^2 \rangle_{2+}}{\langle \gamma^2 \rangle_{0+}} = \frac{(2I+1)}{(2J+1)} \frac{v_\alpha}{\bar{v}_\alpha} \frac{P_I}{P_J} \frac{\bar{a}_0}{a_0}$$

L'analisi tramite le (23) e (24) ha permesso di ottenere informazioni spettroscopiche e sulla popolazione dei sottostati magnetici di qualche livello dell' ^{16}O popolato tramite la reazione $^{12}C(^6Li, d)^{16}O_{10}$.

Infine accenniamo alle sezioni d'urto per le reazioni $^{13}C(^6Li, d)^{17}O_I(\alpha) ^{13}C_{1/2-}$ e $^{13}C(^6Li, d)^{17}O_I(\alpha) ^{13}C_{1/2+}$.

La conservazione della parità nel decadimento $^{17}O \rightarrow \alpha + ^{13}C$ impone che soltanto un valore di J_α nella (15b) deve essere considerato; per cui posto $J^\pm \equiv I \pm 1/2$ si avrà per le due sezioni d'urto differenziali:

$$(25) \quad \left(\frac{d^2\sigma}{d\omega_d d\omega_\alpha} \right)^\pm = (a_0)^3 \sum_m C_m \frac{(J-m)!}{(J+m)!} (P_J^m(\cos\theta_\alpha))^2^\pm$$

con

$$a_0^+ \equiv ((2J+1) v_\alpha P_J \frac{\langle \gamma^2 \rangle^\pm}{\langle D \rangle})^\pm$$

$$C_0^+ \equiv \langle I - \frac{1}{2} \mid \frac{1}{2} - \frac{1}{2} J^\pm 0 \rangle^2 (A(-\frac{1}{2}) + A(\frac{1}{2}))$$

$$C_1^+ \equiv \langle I - \frac{1}{2} \mid \frac{1}{2} - \frac{1}{2} J^\pm 1 \rangle^2 (A(-\frac{1}{2}) + A(\frac{1}{2})) + \langle I - \frac{3}{2} \mid \frac{1}{2} - \frac{1}{2} J^\pm 1 \rangle^2 (A(-\frac{3}{2}) + A(\frac{3}{2}))$$

$$C_2^+ \equiv \langle I - \frac{5}{2} \mid \frac{1}{2} - \frac{1}{2} J^\pm 2 \rangle^2 (A(-\frac{5}{2}) + A(\frac{5}{2}))$$

$$C_3^+ \equiv \langle I - \frac{5}{2} \mid \frac{1}{2} - \frac{1}{2} J^\pm 3 \rangle^2 (A(-\frac{5}{2}) + A(\frac{5}{2}))$$

La regola $\pi(^{17}0) = \pi(^{13}C)(-)^{J^\pm}$ selezionerà tra i due possibili valori di J nella (25).

Per esempio, se il livello dell' $^{17}0$ in esame ha spin e parità $7/2^+$ allora per il decadimento al $^{13}C_{1/2^-}$ si dovrà considerare $J^-(=3)$ e per quello al $^{13}C_{1/2^+}$ $J^+(=4)$, mentre se il livello in esame fosse un $7/2^-$ si avrebbe J^+ per $^{17}0 \rightarrow \alpha + ^{13}C_{1/2^-}$ e J^- per $^{17}0 \rightarrow \alpha + ^{13}C_{1/2^+}$.

L'analisi dei dati sperimentali darà, anche in questo caso, informazioni spettroscopiche sul livello dell' $^{17}0$ che si prende in esame.

BIBLIOGRAFIA. -

- (1) - A. Messiah, *Mecanique Quantique*, (Dunod, Paris).
- (2) - M. A. Preston, *Physics of the Nucleus* (Addison-Wesley P. C.)
- (3) - A. S. Davydov, *Teoria del Nucleo Atomico* (Zanichelli, Bologna)
- (4) - S. Devons and L. J. B. Goldfarb, *Handbuch der Physics*, (Flügge, 1957), Vol. 42, pag. 362.
- (5) - P. Swan, *Rev. Mod. Phys.* 37, 339 (1965).
- (6) - A. E. Litherland and A. J. Ferguson, *Can. J. Phys.* 39, 788 (1961).
- (7) - L. C. L. Yuan and C. S. Wu, *Meth. of Exper. Phys.* (Academic Press, 1963), Vol. 5, part B.
- (8) - D. P. Balamuth, J. E. Holden, J. W. Noè and R. W. Zurmühle, *Phys. Rev. Letters* 26, 1271 (1971).
- (9) - D. P. Balamuth, *Phys. Rev.* 3C, 1565 (1971).
- (10) - A. Foti, G. Pappalardo, A. Strazzeri, M. Lepareux e N. Saunier, 61^o Congresso SIF, Lecce (1975).